

doi:10.3969/j.issn.2095-1744.2020.05.003

# Er 对 7075 铝合金微弧氧化层特性的影响

张先菊, 王宪琦, 邓为豪, 何佳静

(西南石油大学 材料科学与工程学院, 成都 610500)

**摘要:** 对含 Er 量为 0%、0.2%、0.4% 的 7075 铝合金在相同工艺下进行微弧氧化, 利用 X 射线衍射(XRD)、扫描电子显微镜(SEM) 分别研究了微弧氧化膜层的相组成和表面形貌, 同时也研究了氧化层的显微硬度、厚度及耐蚀性。结果表明, 不同 Er 含量的 7075 铝合金微弧氧化层都由  $\gamma\text{-Al}_2\text{O}_3$  相构成, 且随含 Er 量增加,  $\gamma\text{-Al}_2\text{O}_3$  相峰值增加, Er 在微弧氧化过程中形成了  $\text{Al}_{17}\text{Er}_2$  相进入膜层; 随含 Er 量的增加, 氧化膜表面平整度先增加后下降, 当 Er 含量为 0.2% 时, 表面堆积物细小均匀、孔隙直径小, 粗糙度最低; 含 Er 量由 0% 增加到 0.4%, 显微硬度及厚度也随之增加, 耐蚀性明显增加, 自腐蚀电流密度由  $4.280 \times 10^{-6} \text{ A/cm}^2$  降至  $2.405 \times 10^{-9} \text{ A/cm}^2$ 。

**关键词:** Er; 7075 铝合金; 微弧氧化; 硬度; 耐蚀性

中图分类号: TG174.4 文献标志码: A 文章编号: 2095-1744(2020)05-0012-05

## Effect of Er on Characteristics of Oxide Coating on 7075 Aluminum Alloy by Micro-arc Oxidation

ZHANG Xianju, WANG Xianqi, DENG Weihao, HE Jiajing

(School of Materials Science and Engineering, Southwest Petroleum University, Chengdu 610500, China)

**Abstract:** The 7075 aluminum alloys with 0%, 0.2% and 0.4% Er were subjected to micro-arc oxidation under the same parameters. The surface morphology and the phases of the oxide coating were analyzed using SEM and XRD respectively. The micro-hardness, thickness and corrosion resistance of the oxide coating were also studied simultaneously. The results show that the micro-arc oxidation coating of 7075 aluminum alloy with different Er contents is composed of gamma-Al<sub>2</sub>O<sub>3</sub> phase. With the increase of Er content, the peak of  $\gamma\text{-Al}_2\text{O}_3$  phase is enhanced. Er enters the oxide coating with the form of  $\text{Al}_{17}\text{Er}_2$ , which is an unbalanced phase after micro-arc action. With the increase of Er content, the surface roughness of oxide coating decreases firstly and then increases. When Er content is 0.2%, the surface deposit is fine and uniform, the diameter of pore is small, and the roughness is the lowest. As the Er content increases from 0% to 0.4%, the micro-hardness and thickness of the oxide coating also increases, and then the corrosion resistance increases significantly. Consequently, the self-corrosion current density decreases from  $4.280 \times 10^{-6} \text{ A/cm}^2$  to  $2.405 \times 10^{-9} \text{ A/cm}^2$ .

**Key words:** Er; 7075 aluminum alloy; micro-arc oxidation; hardness; corrosion resistance

铝合金具有高强度、低密度和热加工性能好等特点, 被广泛应用于航空、航天及民用工业中, 但由

于其硬度低, 耐腐蚀性差, 又限制了其应用<sup>[1-2]</sup>。微弧氧化(MAO)是一种新兴的环保型技术, 它可以在

收稿日期: 2019-10-11

基金项目: 四川省高等学校油气田材料重点实验室项目(X151518KCL11)

Fund: Supported by the Open Fund of Key Laboratory of Sichuan Province for Oil and Gas Field Materials (X151518KCL11)

作者简介: 张先菊(1978—), 女, 硕士, 讲师, 主要从事先进材料的制备、表面工程等方面的研究。

引用格式: 张先菊, 王宪琦, 邓为豪, 等. Er 对 7075 铝合金微弧氧化层特性的影响[J]. 有色金属工程, 2020, 10(5): 12-16.

ZHANG Xianju, WANG Xianqi, DENG Weihao, et al. Effect of Er on Characteristics of Oxide Coating on 7075 Aluminum Alloy by Micro-arc Oxidation[J]. Nonferrous Metals Engineering, 2020, 10(5): 12-16.

铝、镁、钛等轻金属及其合金表面形成微弧氧化陶瓷层,从而提高合金的硬度、耐蚀性等性能,是有效的表面处理方法之一。

稀土元素具有改善陶瓷的烧结性能、韧性和致密性的作用<sup>[3-5]</sup>,因此不少学者研究了稀土元素对微弧氧化陶瓷层性能的影响。稀土对微弧氧化层作用形式有三种,其一可以作为合金元素加入到合金中,其二可作为添加剂加入到电解液中,另外还可作为预处理溶液浸泡合金,其中作为预处理浸泡溶液或添加剂进入电解液中的研究较多<sup>[6-10]</sup>,涉及的稀土元素主要为 Ce、La、Y 等,结果证明一定含量的稀土能够提高氧化膜的硬度、耐磨性及耐蚀性,但关于稀土作为合金元素特别是含 Er 的研究不多。WANG P 等<sup>[11]</sup>研究了 Mg-11Gd-1Y-0.5Zn 合金微弧氧化膜结构和性能,发现稀土元素的加入只影响了氧化层相组成,提高了耐蚀性,但是并没有在氧化层中发现含稀土的晶相。蔡顺景等<sup>[12]</sup>研究了含 Ce 量为 0%、0.92%、1.8% 的 AZ91 合金微弧氧化膜耐蚀性,发

现稀土 Ce 可以促进成膜过程,提高氧化膜耐蚀性,但是也没有在膜中发现稀土相。任晓东等<sup>[13]</sup>研究发现镁合金中 Y 的质量分数对其耐磨性影响很大,当 Y 含量最高 2% 时也未在氧化层中发现含 Y 的物相。这些研究都发现基体中稀土对微弧氧化膜性能有影响,但是关于稀土元素有没有进入氧化层,如何影响成膜过程等问题尚未研究清楚。因此,本实验利用微弧氧化技术在添加不同 Er 含量的 7075 铝合金表面制备陶瓷膜,研究 Er 对氧化膜组成及性能的影响。

## 1 材料及实验

实验合金采用 7075 铝合金和 Al-15%Er 中间合金为原材料,在真空熔炼炉中熔炼,浇注后进行均匀化处理,再经热轧、冷轧、T6 处理得到含 Er7075 铝合金,其化学成分如表 1 所示。将试样切割成 20 mm×10 mm×3 mm 的长方体薄片,经砂纸打磨、抛光、除油、去离子水漂洗、超声波清洗后待用。

表 1 合金主要化学成分

Table 1 Main chemical compositions of alloys

Composition	Zn	Mg	Cu	Cr	Er	Fe	Si	Mn	Al	/%
Sample 1	5.61	2.42	1.43	0.22	0	0.08	0.06	0.05	Allowance	
Sample 2	5.66	2.40	1.45	0.24	0.20	0.07	0.06	0.05	Allowance	
Sample 3	5.57	2.50	1.41	0.27	0.40	0.09	0.05	0.06	Allowance	

铝合金试样作阳极,不锈钢容器(装电解液)作阴极。采用功率为 5 kW 的 WDL20-6 型恒流-脉冲微弧氧化装置进行微弧氧化,电解液成分为硅酸钠 10 g/L、氢氧化钠 3 g/L、偏铝酸钠 1 g/L。实验采用阳极脉冲电源,电流密度为 6 A/dm<sup>2</sup>,占空比为 20%,频率为 100 Hz,氧化时间为 30 min,电解液温度控制在 30 ℃ 以下。对试样进行去离子水漂洗、干燥,采用 HITACHI S-450 型扫描电子显微镜(SEM)观察微弧氧化层形貌,XPertPRO 型 X 射线衍射仪(XRD)测定微弧氧化层相组成,TT230 型测厚仪测量膜层厚度,HVS-1000 型显微硬度仪测量膜层硬度,IM6 型电化学工作站测试氧化膜的极化曲线(3.5%NaCl 溶液)。

## 2 结果与讨论

### 2.1 氧化层相组成

图 1 为不同含 Er 量 7075 铝合金微弧氧化层的 XRD 图谱。从图 1 中可以看出,微弧氧化层主要由  $\gamma\text{-}\text{Al}_2\text{O}_3$  组成,其中 Al 来自于基体,随含 Er 量的增

加, $\gamma\text{-}\text{Al}_2\text{O}_3$  相的峰强也随之增加,但是三种样品中均未发现含 Er 的物相,可能是 Er 含量太低,未能检测到。为了弄清 Er 在微弧氧化过程中对  $\text{Al}_2\text{O}_3$  相形成的影响以及是否参与反应,将 Al-15%Er 中间合金在相同工艺下进行微弧氧化,其结果如图 2 所示。由图 2 可以看出,试样表面几乎全部由  $\text{Al}_{17}\text{Er}_2$  相组成,Al 的出现也是来自于基体,但是并没有发现  $\text{Al}_2\text{O}_3$  相,说明当 Er 含量一定时,  $\text{Al}_2\text{O}_3$  相的形成过程被完全抑制。根据 Al-Er 二元相图<sup>[14]</sup>以及李云涛等<sup>[15-17]</sup>的研究,铝合金中的 Er 主要以  $\text{Al}_3\text{Er}$  形式存在,但并没出现  $\text{Al}_{17}\text{Er}_2$  相,因此推测  $\text{Al}_{17}\text{Er}_2$  相是在微弧氧化作用下产生的一种非平衡相,可能发生如下反应:



含 Er 量为 0.2% 及 0.4% 的 7075 合金在微弧氧化过程中,  $\text{Al}_{17}\text{Er}_2$  相优先于  $\text{Al}_2\text{O}_3$  相形成,随后成为熔融  $\text{Al}_2\text{O}_3$  相的晶核,又由于其量少,故而没有在 XRD 图谱中发现。

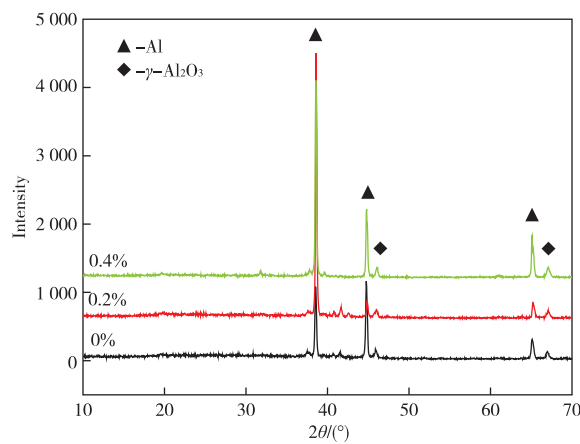


图 1 不同含 Er 量 7075 合金微弧氧化层的 XRD 图谱

Fig. 1 XRD patterns of micro-arc oxide coating of 7075 alloys with different Er contents

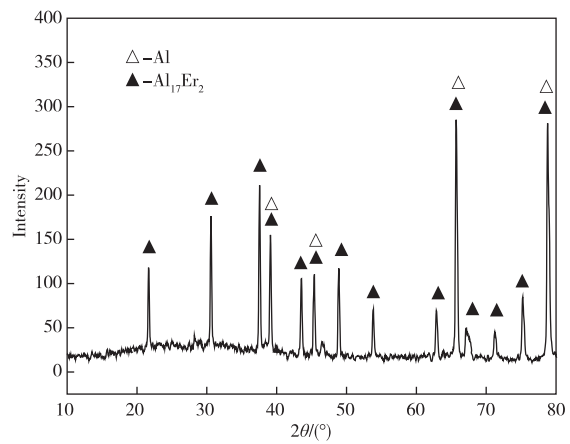


图 2 Al-15%Er 合金微弧氧化层的 XRD 图谱

Fig. 2 XRD pattern of micro-arc oxide coating of Al-15%Er alloy

## 2.2 氧化层表面形貌

经相同工艺微弧氧化处理后试样表面形貌如图 3 所示, 其中图 3(a)、3(b)、3(c) 分别为含 Er 量为 0%、0.2%、0.4% 合金表面形貌。从图 3 中可以看出, 经微弧氧化处理后, 试样表面均出现类似“火山口”的孔洞, 这是由于基体膜层表面被击穿氧化, 形成一放电通道, 高温下形成熔融的  $\text{Al}_2\text{O}_3$  流出, 随后在其周围凝固, 使膜层不断增厚, 大量放电通道堆积导致膜层表面粗糙度增加。对比图 3(a)和 3(b), 随着含 Er 量的增加, 表面堆积物更细小均匀, 孔洞直径也更小, 平整度增加。但当含 Er 量增加到 0.4% 时, 火山状孔洞直径增大, 表面突起物增多, 平整度反而下降, 如图 3(c)所示。

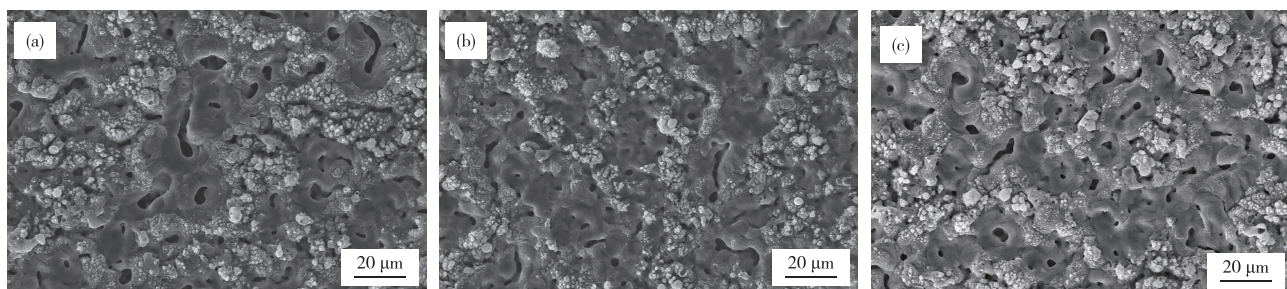


图 3 氧化层表面形貌

Fig. 3 Morphology of oxide coating via SEM (a) 0%Er (b) 0.2%Er (c) 0.4%Er

## 2.3 氧化层硬度及厚度

测试了试样表面陶瓷层的显微硬度及厚度, 其结果如图 4 所示。含 Er 量由 0% 增加到 0.4%, 显微硬度由 170.58 HV 增加到 180.5 HV, 厚度由 5.20  $\mu\text{m}$  增加到 8.98  $\mu\text{m}$ 。因此, 在本实验范围内随着基体中含 Er 量的增加, 显微硬度和厚度都增加。这是由于稀

由于在相同工艺下进行微弧氧化处理, 造成表面形貌的差异必定是基体中的 Er 参与了反应。在微弧氧化过程中, 基体与氧化层界面处 Er 随 Al 一起处于熔融状态, 由于稀土元素比较活泼, 极易填充氧化层中的缺陷, 从而使新旧两相的界面张力下降, 增加晶核的形核率, 同时形成表面活性膜, 阻止晶粒长大<sup>[18]</sup>。另外, 稀土 Er 在电弧作用下形成  $\text{Al}_{17}\text{Er}_2$  金属间化合物, 由放电通道喷射出来, 凝固后成为陶瓷层的晶核, 极大地增加了陶瓷层晶核数量, 从而使熔化的喷射物凝固更快, 熔融物流动时间变短, 在放电通道附近迅速凝固而造成堆积, 因此 0.4%Er 试样表面放电通道附近出现大量的残渣, 表面又变得粗糙。

土 Er 的加入, 一方面改善了合金中 Si、Fe 等有害元素的分布规律<sup>[19]</sup>, 使之从固溶态转变为析出态, 降低电阻率, 提高导电率<sup>[20-21]</sup>, 增加放电通道, 界面温度高, 有利于形成更多的  $\text{Al}_2\text{O}_3$ , 从而提高厚度; 另一方面 Er 增加陶瓷层  $\text{Al}_2\text{O}_3$  的形核率, 形成更为细小的晶粒, 使得陶瓷层致密性增加, 硬度提高。

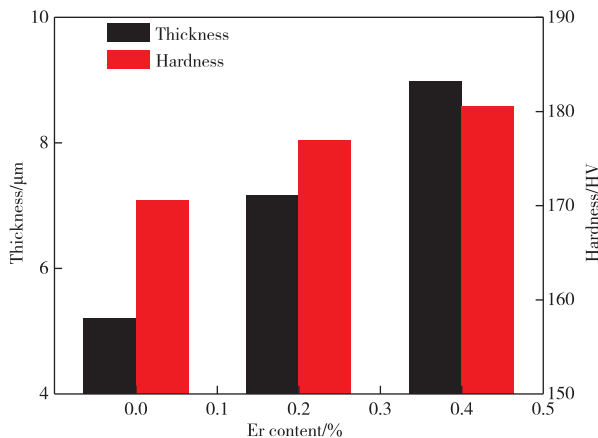


图4 氧化层硬度及厚度

Fig. 4 The hardness and thickness of oxide coating

## 2.4 氧化层耐蚀性

利用电化学方法评价陶瓷膜的耐蚀性,试样的极化曲线测试结果如图5所示,对数据进行拟合,得到表2中的腐蚀电位和电流密度。由表2可知,随着含Er量的增加,试样表面微弧氧层腐蚀电位正移,腐蚀电流密度下降,由 $4.280 \times 10^{-6} \text{ A/cm}^2$ 降至 $2.405 \times 10^{-9} \text{ A/cm}^2$ ,即含Er量为0%到0.4%,微弧氧化膜耐蚀性提高了约2000倍。这是由于基体中Er的加入能够增加陶瓷层的厚度,细化陶瓷晶粒从而增加致密性,大大地降低了陶瓷层中的腐蚀通道,因此耐蚀性得到提高。

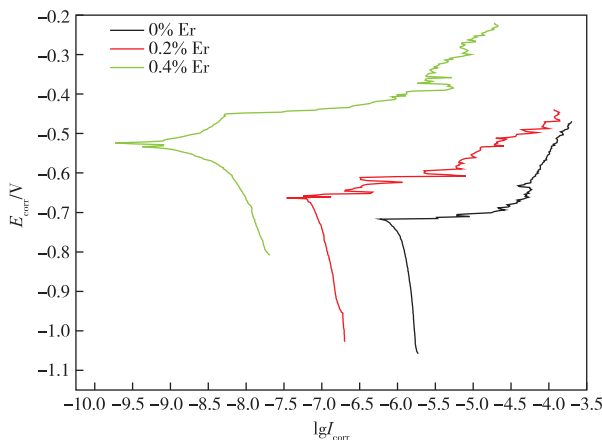


图5 氧化层极化曲线

Fig. 5 Polarization curves of oxide coating

表2 Tafel拟合数据

Table 2 Tafel fitting data

Er content/%	Corrosion potential E/V	Corrosion current density I <sub>corr</sub> /(A·cm <sup>-2</sup> )
0	-0.71721	$4.280 \times 10^{-6}$
0.2	-0.67433	$1.152 \times 10^{-8}$
0.4	-0.52921	$2.405 \times 10^{-9}$

## 3 结论

1)含Er量为0%、0.2%、0.4%的7075铝合金,相同工艺下的微弧氧化层均由 $\gamma\text{-Al}_2\text{O}_3$ 相组成,随含Er量增加, $\gamma\text{-Al}_2\text{O}_3$ 相峰值变强,Er在微弧氧化过程中形成了 $\text{Al}_{17}\text{Er}_2$ 相。

2)随含Er量的增加,氧化膜表面平整度先增加后下降,当Er含量为0.2%时,表面堆积物细小均匀、孔隙直径小,粗糙度最低。

3)含Er量由0%增加到0.4%,氧化膜的硬度、厚度和耐蚀性均得到提高。

## 参考文献:

- [1] DUARTE L T, CLAUDEMIRIO B, BIAGGIO S R, et al. Growth of aluminum-free porous oxide layers on titanium and its alloys Ti-6Al-4V and Ti-6Al-7Nb by micro-arc oxidation [J]. Materials Science and Engineering C, 2014, 41(4):343-348.
- [2] 曹志强,刘吉东,张红亮,等.7050铝合金均匀化热处理后的组织转变[J].特种铸造及有色合金,2010,30(4):297-299.  
CAO Zhiqiang, LIU Jidong, ZHANG Hongliang, et al. Microstructure evolution in DC (Direct Casting) 7050 alloy during homogenization [J]. Special Casting & Nonferrous Alloys, 2010, 30(4): 297-299.
- [3] 穆柏春,孙旭东.稀土对 $\text{Al}_2\text{O}_3$ 陶瓷烧结温度、显微组织和力学性能的影响[J].中国稀土学报,2002,22(增刊1):104-107.  
MU Baichun, SUN Xudong. Effect of rare earths on sintering temperature, microstructure and mechanical properties of  $\text{Al}_2\text{O}_3$  ceramics [J]. Journal of the Chinese Rare Earth Society, 2002, 22(S1): 104-107.
- [4] 黄晓巍.液相烧结 $\text{Al}_2\text{O}_3/3\text{Y TZP}$ 复相材料的致密化与力学性能[J].硅酸盐学报,2006,34(4):479-482.  
HUANG Xiaowei. Densification and mechanical properties of  $\text{Al}_2\text{O}_3/3\text{Y-TZP}$  composites prepared by liquid phase sintering [J]. Journal of the Chinese Ceramic Society, 2006, 34(4): 479-482.
- [5] 何科杉,程西云,李志华.稀土对金属陶瓷涂层微观组织改性作用研究现状和应用进展[J].润滑与密封,2009,34(3):100.  
HE Keshan, CHENG Xiyun, LI Zhihua. Surface modification on cermet coating microstructure by rare earths and its application development [J]. Lubrication Engineering, 2009, 34(3): 100.
- [6] 郭豫鹏,狄士春,吕鹏翔,等. $\text{CeO}_2$ 对2A12铝合金微弧氧化膜层组织和性能的影响[J].稀有金属材料与工

- 程,2015,44(9):2240-2244.
- GUO Yupeng, DI Shichun, Lyu Pengxiang, et al. Effects of CeO<sub>2</sub> on microstructure and properties of micro arc oxidation coatings on 2A12 aluminum alloy[J]. Rare Metal Materials and Engineering, 2015, 44(9):2240-2244.
- [7] 孙鹏,牛宗伟,徐山,等.Y(NO<sub>3</sub>)<sub>3</sub>对6061铝合金微弧氧化陶瓷层的影响[J].电镀与精饰,2015,37(5):27-31.  
SUN Peng, NIU Zongwei, XU Shan, et al. Effects of Y(NO<sub>3</sub>)<sub>3</sub> on ceramic coating prepared by micro-arc oxidation on 6061 aluminum alloy [J]. Plating and Finishing, 2015,37(5):27-31.
- [8] 陈宁宇,强新发,沈佳杰,等.电解液中稀土Ce对镁合金微弧氧化膜的影响[J].热加工工艺,2018,47(18):134-140.  
CHEN Ningyu, QIANG Xinfu, SHEN Jajie, et al. Effects of rare earth Ce in electrolyte on micro-arc oxidation film of Mg alloy [J]. Hot Working Technology, 2018,47(18):134-140.
- [9] DI S C, GUO Y P, LYU H W, ET AL. Microstructure and properties of rare earth CeO<sub>2</sub>-doped TiO<sub>2</sub> nanostructured composite coatings through micro-arc oxidation[J]. Ceramics International, 2015, 41 (5): 6178-6186.
- [10] LIU F, LI Y J, GU J J, et al. Preparation and performance of coating on rare-earth compounds-immersed magnesium alloy by micro-arc oxidation[J]. Transactions of Nonferrous Metals Society of China, 2012,22(7):1647-1654.
- [11] WANG P, LI J P, GUO Y C, et al. Growth process and corrosion resistance of ceramic coatings of micro-arc oxidation on Mg-Gd-Y magnesium alloys[J]. Journal of Rare Earths, 2010,28(5):798-802.
- [12] 蔡景顺,曹发和,常林荣,等.Ce改性AZ91的微弧氧化膜制备及其耐蚀性能[J].浙江大学学报(工学版),2011,45(11):2055-2062.  
CAI Jingshun, CAO Fahe, CHANG Linrong, et al. The study of micro-arc oxidation coating on AZ91 modified by cerium and its corrosion resistance[J]. Journal of Zhejiang University (Engineering Science), 2011, 45(11):2055-2062.
- [13] 任晓东,赵亚亚,李雪松,等.钇对Mg-2Zn-0.5Ca-Y合金表面微弧氧化膜性能的影响[J].电镀与环保,2015,35(2):34-36.  
REN Xiaodong, ZHAO Yaya, LI Xuesong. Influence of yttrium on properties of the micro-arc oxidation film on Mg-2Zn-0.5Ca-Y alloy surface[J]. Electroplating & Pollution Control, 2015,35(2):34-36.
- [14] 王祝堂,田荣璋.铝合金及其加工手册[M].长沙:中南大学出版社,2005.  
WANG Zhutang, TIAN Rongzhang. Aluminum alloy and its machining manual [ M ]. Changsha: Central South University Press, 2005.
- [15] 李云涛,刘志义,夏卿坤,等.Er在Al-Cu-Mg-Ag合金中的存在形式及其均匀化工艺[J].中南大学学报,2006,37(36):1044-1045.  
LI Yuntao, LIU Zhiyi, XIA Qingkun, et al. Homogenizing process and form of Er in Al-Cu-Mg-Ag alloy[J]. Journal of Central South University, 2006, 37(36):1044-1045.
- [16] ZHANG Y, CAO K Y, WEN S P, et al. The study on the coarsening process and precipitation strengthening of Al<sub>3</sub>Er Precipitate in Al-Er binary alloy[J]. Journal of Alloys and Compounds, 2014,610(15):27-34.
- [17] 余胜文,王为,杨军军,等.Al-5Mg-Er合金中Al<sub>3</sub>Er相的析出及其热力学计算分析[J].中国稀土学报,2006,24(4):470-474.  
YU Shengwen, WANG Wei, YANG Junjun, et al. Thermodynamic calculation and precipitation behavior of Al<sub>3</sub>Er phase in Al-5Mg-Er alloy[J]. Journal of the Chinese Rare Earth society, 2006,24(4):470-474.
- [18] 王春涛,林伟国,曹华珍,等.含稀土介质中铝合金阳极氧化研究[J].表面技术,2003,32(3):49-51.  
WANG Chuntao, LIN Weiguo, CAO Huazhen, et al. Study on Al-alloy anodizing in electrolytes containing rare earth[J]. Surface Technology, 2003,32(3):49-51.
- [19] 孙伟成,张淑荣.稀土元素在铝合金中的合金化作用[J].兵器材料科学与工程,1990(2):64-68.  
SUN Weicheng, ZHANG Shurong. Alloying of rare earth elements in aluminum alloys [ J ]. Ordnance Materials Science and Engineering, 1990(2):64-68.
- [20] 黄学锋,高原,刘贵仲.稀土Er改性6063铝合金导电性能研究[J].热加工工艺,2010,39(24):19-20.  
HUANG Xuefeng, GAO Yuan, LIU Guizhong. Study on conductivity of 6063 aluminium alloy modified by rare earth element Er[J]. Hot Working Technology, 2010,39(24):19-20.
- [21] 钟建华,刘金明,张聚国.稀土对6063铝合金导电性的影响[J].铸造,2005,54(7):727-728.  
ZHANG Jianhua, LIU Jinming, ZHANG Juguo. Effect of RE on the conductive properties of 6063 aluminum alloy[J]. Foundry, 2005,54(7):727-728.